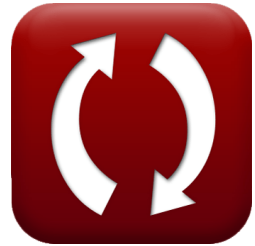


calculatoratoz.comunitsconverters.com

Эллиптическое распределение подъемной силы Формулы

[Калькуляторы!](#)[Примеры!](#)[Преобразования!](#)

Закладка calculatoratoz.com, unitsconverters.com

Самый широкий охват калькуляторов и рост - **30 000+ калькуляторов!**

Расчет с разными единицами измерения для каждой переменной -

Встроенное преобразование единиц измерения!

Самая широкая коллекция измерений и единиц измерения - **250+ измерений!**



Не стесняйтесь ПОДЕЛИТЬСЯ этим документом с друзьями!

[Пожалуйста, оставьте свой отзыв здесь...](#)



Список 20 Эллиптическое распределение подъемной силы Формулы

Эллиптическое распределение подъемной силы ↗

1) Индуцированный угол атаки с учетом коэффициента подъемной силы ↗

fx $\alpha_i = S_0 \cdot \frac{C_l}{\pi \cdot b^2}$

Открыть калькулятор ↗

ex $11.04141^\circ = 2.21m^2 \cdot \frac{1.5}{\pi \cdot (2340mm)^2}$

2) Индуцированный угол атаки с учетом нисходящей волны ↗

fx $\alpha_i = - \left(\frac{w}{V_\infty} \right)$

Открыть калькулятор ↗

ex $11.08951^\circ = - \left(\frac{-3m/s}{15.5m/s} \right)$



3) Индуцированный угол атаки с учетом соотношения сторон ↗

fx $\alpha_i = \frac{C_l}{\pi \cdot AR_{ELD}}$

[Открыть калькулятор ↗](#)

ex $11.03094^\circ = \frac{1.5}{\pi \cdot 2.48}$

4) Индуцированный угол атаки с учетом циркуляции в начале ↗

fx $\alpha_i = \frac{\Gamma_0}{2 \cdot b \cdot V_\infty}$

[Открыть калькулятор ↗](#)

ex $11.05791^\circ = \frac{14m^2/s}{2 \cdot 2340mm \cdot 15.5m/s}$

5) Коэффициент индуцированного сопротивления с учетом соотношения сторон ↗

fx $C_{D,i,ELD} = \frac{C_{L,ELD}^2}{\pi \cdot AR_{ELD}}$

[Открыть калькулятор ↗](#)

ex $0.284952 = \frac{(1.49)^2}{\pi \cdot 2.48}$

6) Коэффициент подъемной силы с учетом индуцированного угла атаки ↗

fx $C_{L,ELD} = \pi \cdot \alpha_i \cdot AR_{ELD}$

[Открыть калькулятор ↗](#)

ex $1.495793 = \pi \cdot 11^\circ \cdot 2.48$



7) Коэффициент подъемной силы с учетом коэффициента индуктивного сопротивления ↗

fx $C_{L,ELD} = \sqrt{\pi \cdot AR_{ELD} \cdot C_{D,i,ELD}}$

[Открыть калькулятор ↗](#)

ex $1.497949 = \sqrt{\pi \cdot 2.48 \cdot 0.288}$

8) Коэффициент подъемной силы с учетом циркуляции в начале ↗

fx $C_{L,ELD} = \pi \cdot b \cdot \frac{\Gamma_o}{2 \cdot V_\infty \cdot S_0}$

[Открыть калькулятор ↗](#)

ex $1.502242 = \pi \cdot 2340\text{mm} \cdot \frac{14\text{m}^2/\text{s}}{2 \cdot 15.5\text{m/s} \cdot 2.21\text{m}^2}$

9) Подъемная сила крыла с учетом циркуляции в начале ↗

fx $F_L = \frac{\pi \cdot \rho_\infty \cdot V_\infty \cdot b \cdot \Gamma_o}{4}$

[Открыть калькулятор ↗](#)

ex $488.5416\text{N} = \frac{\pi \cdot 1.225\text{kg/m}^3 \cdot 15.5\text{m/s} \cdot 2340\text{mm} \cdot 14\text{m}^2/\text{s}}{4}$



10) Подъемная сила на заданном расстоянии вдоль размаха крыла ↗**fx**

$$L = \rho_{\infty} \cdot V_{\infty} \cdot \Gamma_o \cdot \sqrt{1 - \left(2 \cdot \frac{a}{b}\right)^2}$$

Открыть калькулятор ↗**ex**

$$265.7989N = 1.225 \text{kg/m}^3 \cdot 15.5 \text{m/s} \cdot 14 \text{m}^2/\text{s} \cdot \sqrt{1 - \left(2 \cdot \frac{16.4 \text{mm}}{2340 \text{mm}}\right)^2}$$

11) Промывка вниз в распределении эллиптического подъемника ↗**fx**

$$w = -\frac{\Gamma_o}{2 \cdot b}$$

Открыть калькулятор ↗**ex**

$$-2.991453 \text{m/s} = -\frac{14 \text{m}^2/\text{s}}{2 \cdot 2340 \text{mm}}$$

12) Скорость набегающего потока при заданном угле атаки ↗**fx**

$$V_{\infty} = \frac{\Gamma_o}{2 \cdot b \cdot \alpha_i}$$

Открыть калькулятор ↗**ex**

$$15.5816 \text{m/s} = \frac{14 \text{m}^2/\text{s}}{2 \cdot 2340 \text{mm} \cdot 11^\circ}$$



13) Скорость набегающего потока с учетом циркуляции в начале

[Открыть калькулятор](#)

fx $V_\infty = \pi \cdot b \cdot \frac{\Gamma_0}{2 \cdot S_0 \cdot C_{L,ELD}}$

ex $15.62735 \text{ m/s} = \pi \cdot 2340 \text{ mm} \cdot \frac{14 \text{ m}^2/\text{s}}{2 \cdot 2.21 \text{ m}^2 \cdot 1.49}$

14) Соотношение сторон с учетом индуцированного угла атаки

[Открыть калькулятор](#)

fx $AR_{ELD} = \frac{C_{L,ELD}}{\pi \cdot \alpha_i}$

ex $2.470395 = \frac{1.49}{\pi \cdot 11^\circ}$

15) Соотношение сторон с учетом коэффициента индуктивного сопротивления

[Открыть калькулятор](#)

fx $AR_{ELD} = \frac{C_{L,ELD}^2}{\pi \cdot C_{D,i,ELD}}$

ex $2.453749 = \frac{(1.49)^2}{\pi \cdot 0.288}$

16) Тираж в месте происхождения с учетом нисходящего потока

[Открыть калькулятор](#)

fx $\Gamma_0 = -2 \cdot w \cdot b$

ex $14.04 \text{ m}^2/\text{s} = -2 \cdot -3 \text{ m/s} \cdot 2340 \text{ mm}$



17) Циркуляция в исходной точке с учетом индуцированного угла атаки

fx $\Gamma_o = 2 \cdot b \cdot \alpha_i \cdot V_\infty$

[Открыть калькулятор !\[\]\(6605b201d6f14d9b3bcb8ab5f274d107_img.jpg\)](#)

ex $13.92668 \text{m}^2/\text{s} = 2 \cdot 2340 \text{mm} \cdot 11^\circ \cdot 15.5 \text{m/s}$

18) Циркуляция в начале координат при распределении эллиптической подъемной силы

fx $\Gamma_o = 2 \cdot V_\infty \cdot S_0 \cdot \frac{C_l}{\pi \cdot b}$

[Открыть калькулятор !\[\]\(e8fb589d58dad1692debababa5e928b6_img.jpg\)](#)

ex $13.97911 \text{m}^2/\text{s} = 2 \cdot 15.5 \text{m/s} \cdot 2.21 \text{m}^2 \cdot \frac{1.5}{\pi \cdot 2340 \text{mm}}$

19) Циркуляция в начале с учетом подъемной силы крыла

fx $\Gamma_o = 4 \cdot \frac{F_L}{\rho_\infty \cdot V_\infty \cdot b \cdot \pi}$

[Открыть калькулятор !\[\]\(4688aadfd656ded00cd6bdfae55089a9_img.jpg\)](#)

ex $14.0074 \text{m}^2/\text{s} = 4 \cdot \frac{488.8 \text{N}}{1.225 \text{kg/m}^3 \cdot 15.5 \text{m/s} \cdot 2340 \text{mm} \cdot \pi}$

20) Циркуляция на заданном расстоянии по размаху крыла

fx $\Gamma = \Gamma_o \cdot \sqrt{1 - \left(2 \cdot \frac{a}{b}\right)^2}$

[Открыть калькулятор !\[\]\(4146d17f71dced09c6ad789cacceaa6d_img.jpg\)](#)

ex $13.99862 \text{m}^2/\text{s} = 14 \text{m}^2/\text{s} \cdot \sqrt{1 - \left(2 \cdot \frac{16.4 \text{mm}}{2340 \text{mm}}\right)^2}$



Используемые переменные

- **a** Расстояние от центра до точки (*Миллиметр*)
- **AR_{ELD}** Удлинение крыла ELD
- **b** Размах крыльев (*Миллиметр*)
- **C_{D,i,ELD}** Коэффициент индуцированного сопротивления ELD
- **C_I** Происхождение коэффициента подъемной силы
- **C_{L,ELD}** Коэффициент подъема ELD
- **F_L** Подъемная сила (*Ньютон*)
- **L** Лифт на расстоянии (*Ньютон*)
- **S₀** Происхождение эталонной области (*Квадратный метр*)
- **V_∞** Скорость свободного потока (*метр в секунду*)
- **w** Нисходящая промывка (*метр в секунду*)
- **α_i** Индуцированный угол атаки (*степень*)
- **Γ** Тираж (*Квадратный метр в секунду*)
- **Γ₀** Тираж в месте происхождения (*Квадратный метр в секунду*)
- **ρ_∞** Плотность свободного потока (*Килограмм на кубический метр*)



Константы, функции, используемые измерения

- **постоянная:** **pi**, 3.14159265358979323846264338327950288
Archimedes' constant
- **Функция:** **sqrt**, sqrt(Number)
Square root function
- **Измерение:** **Длина** in Миллиметр (mm)
Длина Преобразование единиц измерения 
- **Измерение:** **Область** in Квадратный метр (m²)
Область Преобразование единиц измерения 
- **Измерение:** **Скорость** in метр в секунду (m/s)
Скорость Преобразование единиц измерения 
- **Измерение:** **Сила** in Ньютон (N)
Сила Преобразование единиц измерения 
- **Измерение:** **Угол** in степень (°)
Угол Преобразование единиц измерения 
- **Измерение:** **Плотность** in Килограмм на кубический метр (kg/m³)
Плотность Преобразование единиц измерения 
- **Измерение:** **Импульсная диффузия** in Квадратный метр в секунду (m²/s)
Импульсная диффузия Преобразование единиц измерения 



Проверьте другие списки формул

- Эллиптическое распределение подъемной силы Формулы ↗

Не стесняйтесь ПОДЕЛИТЬСЯ этим документом с друзьями!

PDF Доступен в

[English](#) [Spanish](#) [French](#) [German](#) [Russian](#) [Italian](#) [Portuguese](#) [Polish](#) [Dutch](#)

12/19/2023 | 6:56:52 AM UTC

[Пожалуйста, оставьте свой отзыв здесь...](#)

